



PERÚ

Ministerio
de la Producción



IMARPE
INSTITUTO DEL MAR DEL PERÚ

BOLETÍN SEMANAL OCEANOGRÁFICO Y BIOLÓGICO-PESQUERO

Año 8, N° 20

Semana 20: 14 - 20 de mayo, 2023

DIAGNÓSTICO

En el sector ecuatorial, la cobertura del calentamiento (+1 °C) amplió su cobertura hacia el oeste, ocupando la zona entre los 92°W y 155°W. En el Pacífico oriental, el calentamiento térmico mantuvo la tendencia a la disminución, presentando una máxima anomalía de la temperatura superficial del mar (TSM) de +3,94 °C a 205 mn frente a Caleta Cruz (Perú). La anomalía térmica promedio en la región Niño 1+2 disminuyó de +2,20 °C a +2,16 °C, mientras que en la región Niño 3.4 aumentó de +0,53 °C a +0,68 °C (Figura 1).

En el mar peruano se registraron valores de TSM entre 28,4 °C (extremo norte del litoral) y 17,4 °C (Chala). En la presente semana, las aguas con TSM menor a 25 °C se extendieron hasta 90 mn frente a Punta Falsa y 70 mn de Punta Sal, mientras que las mayores de 25 °C mantuvieron su acercamiento a la costa frente a Chicama-Huanchaco (38 mn) y Huarmey-Huacho (20 mn); por otro lado, las aguas con TSM menor a 20 °C, disminuyeron su cobertura frente a San Juan de Marcona y entre Ocoña e Ilo (Figura 2a). Estas condiciones favorecieron a la atenuación del calentamiento al norte de Punta Falsa, permanencia de núcleos con anomalías superiores a +5 °C entre Chicama-Pisco y el incremento del calentamiento (<+2 °C) dentro de las 30 mn al sur de San Juan de Marcona. Las mayores anomalías se registraron frente a Chicama (+5,6 °C), Huarmey (+5,5 °C) y Pisco (+5,5 °C) (Figura 1).

Según el modelo Mercator (Figura 2b) las Aguas Tropicales Superficiales (ATS) y las Aguas Ecuatoriales Superficiales (AES) se replegaron hacia el norte, alcanzando la zona de Caleta Cruz y Punta Sal, respectivamente. Las aguas costeras frías (ACF) aumentaron su influencia desde Paita hasta Paramonga, mientras que las Aguas Subtropicales Superficiales (ASS) mantuvieron su aproximación hacia la costa de Paramonga a Punta Bombón (17,3°S). Esta semana prevaleció la tendencia a la disminución del calentamiento frente a la costa norte del Perú alcanzando 2,6 °C (Punta Sal), mientras que al sur de Chicama predominaron amplias zonas costeras de incremento térmico con valores entre 1 °C y 2,5 °C, este último frente a Ica (Figura 3b).

La ola de calor marina (OCM; Hobday et al., 2016) continuó disminuyendo su cobertura espacial frente a la costa; pasando de 2,90 a 2,37 x 105 Km², dentro de las 150 mn y entre los 2 y 15°S, totalizando 84 días desde su origen; sin embargo, al norte de Lambayeque gran parte de la OCM se disipó luego de 76 días de afectación. En la última semana, la anomalía térmica varió de +3,54 a +4,31 °C frente a Chicama y de +4,19 a +3,98 °C frente a Huacho (Figura 4).

En la franja de ~111 km adyacente a la costa entre el ecuador geográfico y 22°S, predominaron velocidades del viento (VV) de dirección sureste de intensidad moderada (VV=4,1-6,8 m/s) a fuerte (VV=6,8-10,2 m/s), generando anomalías positivas mayores a +1 m/s desde Sechura hasta el norte de Chile, mientras que al norte de Sechura se registraron anomalías de VV en el rango neutral a negativo (< -1,0 m/s) (Figura 5a). Esta semana, las anomalías positivas de TSM se mantuvieron entre Chicama y Callao, mientras que hacia el norte disminuyeron y desde Callao a San Juan de Marcona aumentaron (Figura 5b). En el sector ecuatorial al este de 145°W (Figura 6a) continuaron predominando anomalías del nivel del mar (ANM) positivas con valores entre +2 y +4 cm. Frente a la costa peruana se registró un incremento de ~2 cm en las ANM entre Chicama y Pisco, alcanzando una ANM filtrada de +5,8 cm frente a Pucusana (Figura 6b).

El perfilador ARGO, localizado a 72 mn frente a Punta Falsa el 19 de mayo, en la superficie del mar registró valores de temperatura de 24,5 °C, una anomalía de +3,4 °C y 35,05 de salinidad, indicando el repliegue de las AES hacia el norte. El calentamiento con anomalías entre +0,5 °C a +5,7 °C (a 104 m) prevaleció en los 300 m, destacando el incremento de su intensidad entre los 40 y 108 m, asociado con la incursión de ASS (Figura 7a-c).

Las estimaciones preliminares de los índices climáticos locales para abril (Figuras 8a-c) indicaron un valor de +2,21 para el Índice Costero El Niño (ICEN; Takahashi et al., 2014) y un valor de +2,90 para el Índice Laboratorios Costeros (LABCOS; Quispe y Vásquez, 2015) y el Índice Térmico Costero Peruano (ITCP; Quispe et al., 2016). De acuerdo a las

anomalías del índice del Factor de Condición (AFC) de la anchoveta peruana (Cuba et al., 2019) el recurso mantiene una condición somática menor a la esperada para la época, con valores negativos que presentaron una mayor intensidad a lo registrado la quincena anterior (Figura 8d). Esta semana, 30 embarcaciones pesqueras industriales, por día, prospectaron de 5 a 15 mn frente Ilo-Morro Sama, observándose una mayor presencia de la flota hacia el sur. Se registró anchoveta juvenil con modas principales de 11,0 y 11,5 cm de longitud total (LT) y un porcentaje promedio de juveniles del 82%, valores ligeramente menores a los de la semana anterior (Figura 9a).

PERSPECTIVAS A CORTO PLAZO

El Modelo Atmosférico del Sistema de Pronóstico Global (GFS en inglés) del National Oceanic and Atmospheric Administration/National Center for Environmental Prediction (NOAA/NCEP) pronostica que frente y a lo largo de la zona costera predominarían VV en el rango moderado a fuerte. Durante el periodo de análisis, se registrarían VV moderados desde Tumbes hasta Callao, mientras que vientos fuertes ocurrirían, principalmente desde Callao a San Juan de Marcona, intensificándose hasta las costas de Tacna, durante los días 24 a 26 de mayo. Estas condiciones estarían asociadas a la intensificación del Anticiclón del Pacífico y su acercamiento hacia la zona costera, lo cual favorecería la intensificación del afloramiento costero peruano.

De acuerdo con el pronóstico de Mercator Océan se espera que, del 22 al 31 de mayo, persista el calentamiento anómalo del mar frente al Perú, aunque con una ligera disminución en su intensidad debido a la disminución de la TSM en la zona costera. (http://www.imarpe.gob.pe/imarpe/index.php?id_seccion=I0178040300000000000000)

La última simulación del modelo de **ondas Kelvin ecuatoriales (OKE)** implementado en el IMARPE, forzado con anomalías del esfuerzo del viento ecuatorial superficial obtenidos del NCEP al 19.05.2023, indica que la **OKE cálida** (modo 1), reportada en el BSOBP N°10-2023 (IMARPE, 2023a), llegará al extremo oriental del Pacífico ecuatorial entre **mayo y junio 2023**. Asimismo, la **OKE cálida** (modo 2), mencionada en el BSOBP N°16-2023 (IMARPE, 2023b), ha sido recientemente reforzada por la persistencia de las anomalías de vientos del oeste en el Pacífico ecuatorial occidental y llegará al extremo oriental del Pacífico ecuatorial entre **julio y agosto 2023**. Por otro lado, la **OKE fría** (modo 2), mencionada en el BSOBP N°18-2023 (IMARPE, 2023c), continúa su propagación hacia el este y podría llegar al extremo oriental del Pacífico ecuatorial en **junio 2023**. Cabe señalar, que debido a la persistencia de las anomalías de vientos del oeste en el extremo del Pacífico ecuatorial occidental, la **OKE cálida** (modo 1), mencionada en el boletín anterior, ha sido reforzada y alcanzará el extremo oriental del Pacífico ecuatorial en **julio 2023**. (http://www.imarpe.gob.pe/imarpe/index2.php?id_seccion=I0178040300000000000000)

Servicio de Información Oceanográfica del Fenómeno El Niño (SIOFEN)
Dirección General de Investigaciones en Oceanografía y Cambio Climático (DGIOCC) y
Dirección General de Investigaciones de Recursos Pelágicos (DGIRP)
Instituto del Mar del Perú (IMARPE)

I. CONDICIONES DE MACROESCALA

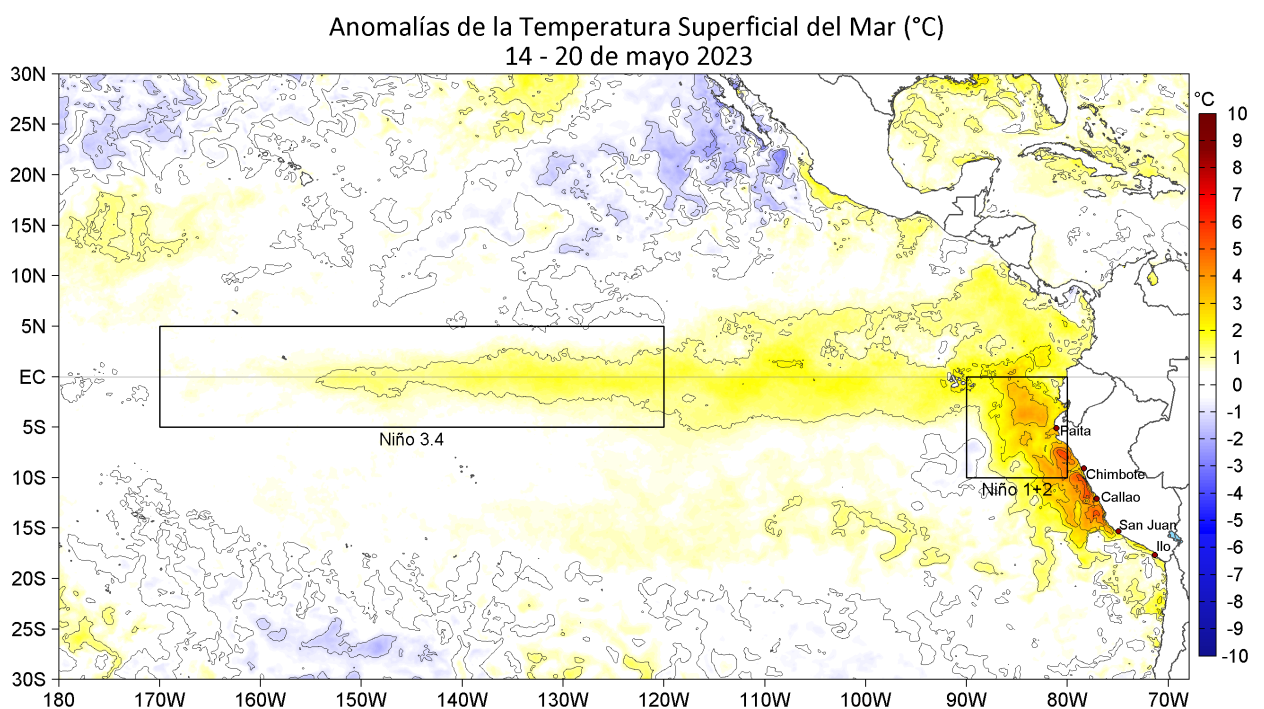


Figura 1. Anomalías promedio de la temperatura superficial del mar (TSM, °C) en el océano Pacífico tropical para la semana del 14 al 20 de mayo de 2023. Las regiones Niño 3.4 y Niño 1+2 en los sectores central y oriental del océano, respectivamente, están delimitadas con una línea de color gris. Datos: OSTIA-UKMO-L4-GLOB-v2.0 (UK Met Office, 2012; Donlon et al, 2012) disponible en <https://podaac.jpl.nasa.gov/dataset/OSTIA-UKMO-L4-GLOB-v2.0>. Las anomalías se calcularon con respecto de la climatología para el periodo 2007-2016.

II. CONDICIONES REGIONALES

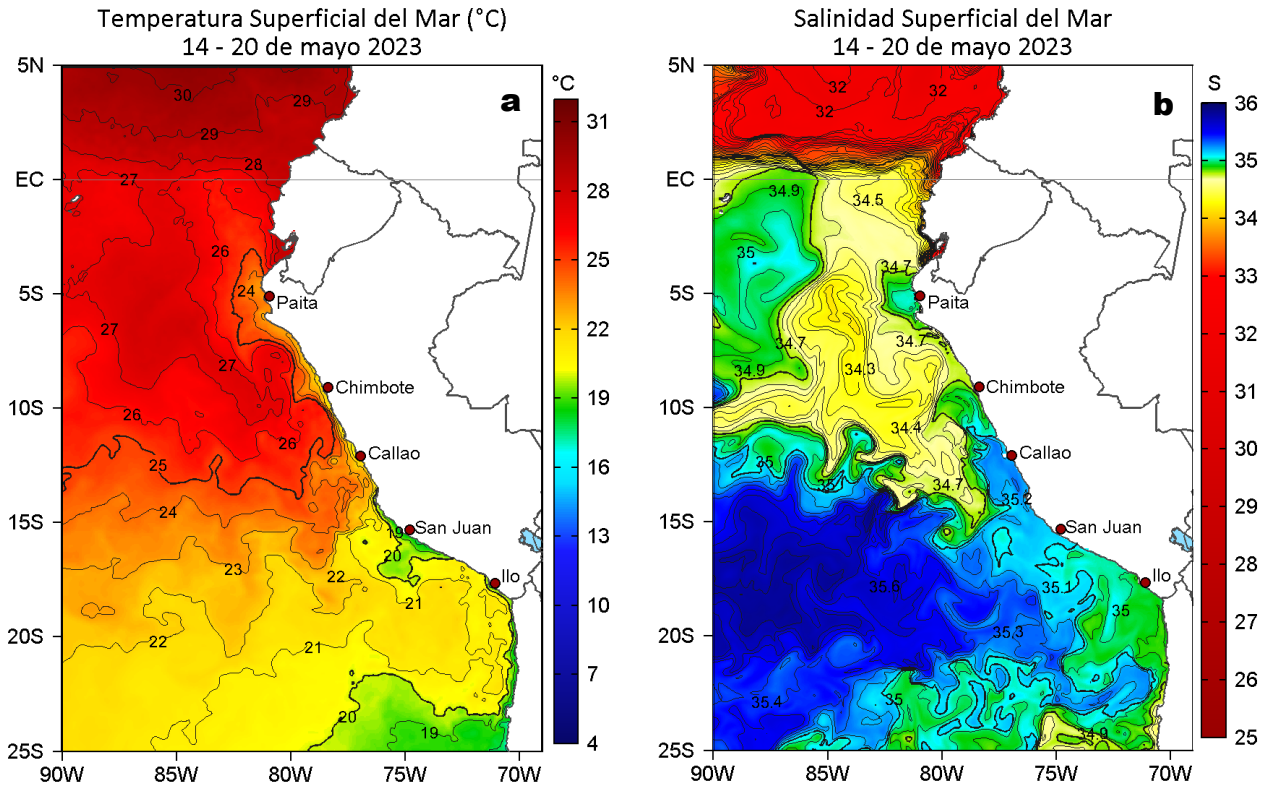


Figura 2. Distribución espacial promedio de: a) TSM (°C) y b) Salinidad superficial del mar (SSM) para la semana del 14 al 20 de mayo 2023. Datos: OSTIA-UKMO-L4-GLOB-v2.0 (UK Met Office, 2012; Donlon et al, 2012) disponible en <https://podaac.jpl.nasa.gov/dataset/OSTIA-UKMO-L4-GLOB-v2.0> para (a) y del GLOBAL_ANALYSISFORECAST_PHY_001_024 (Lellouche, J. M. et al, 2013) disponible en https://data.marine.copernicus.eu/product/GLOBAL_ANALYSISFORECAST_PHY_001_024/description para (b). Las escalas de colores se presentan a la derecha de cada gráfico.

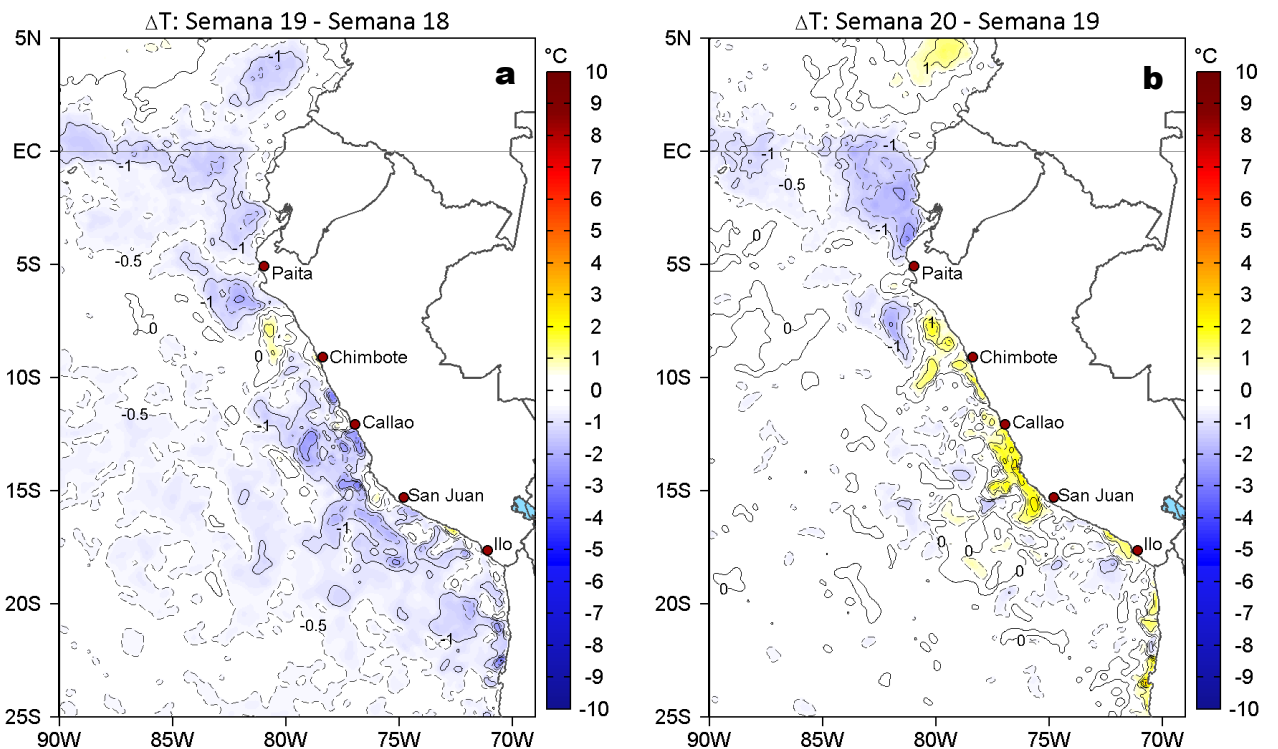


Figura 3. Variación semanal de la TSM (°C) en el océano Pacífico tropical oriental entre: a) décimo novena (07-13 de mayo) y décimo octava (30 de abril - 06 de mayo) semana de 2023 y b) vigésima (14-20 de mayo) y décimo novena (07-13 de mayo) semana de 2023. Los mapas, que indican el grado de calentamiento o enfriamiento de una semana a otra, provienen de OSTIA-UKMO-L4-GLOB-v2.0 (UK Met Office, 2012; Donlon et al, 2012). La barra de colores a la derecha muestra la diferencia de la temperatura entre la presente y la semana previa.

III. CONDICIONES LOCALES

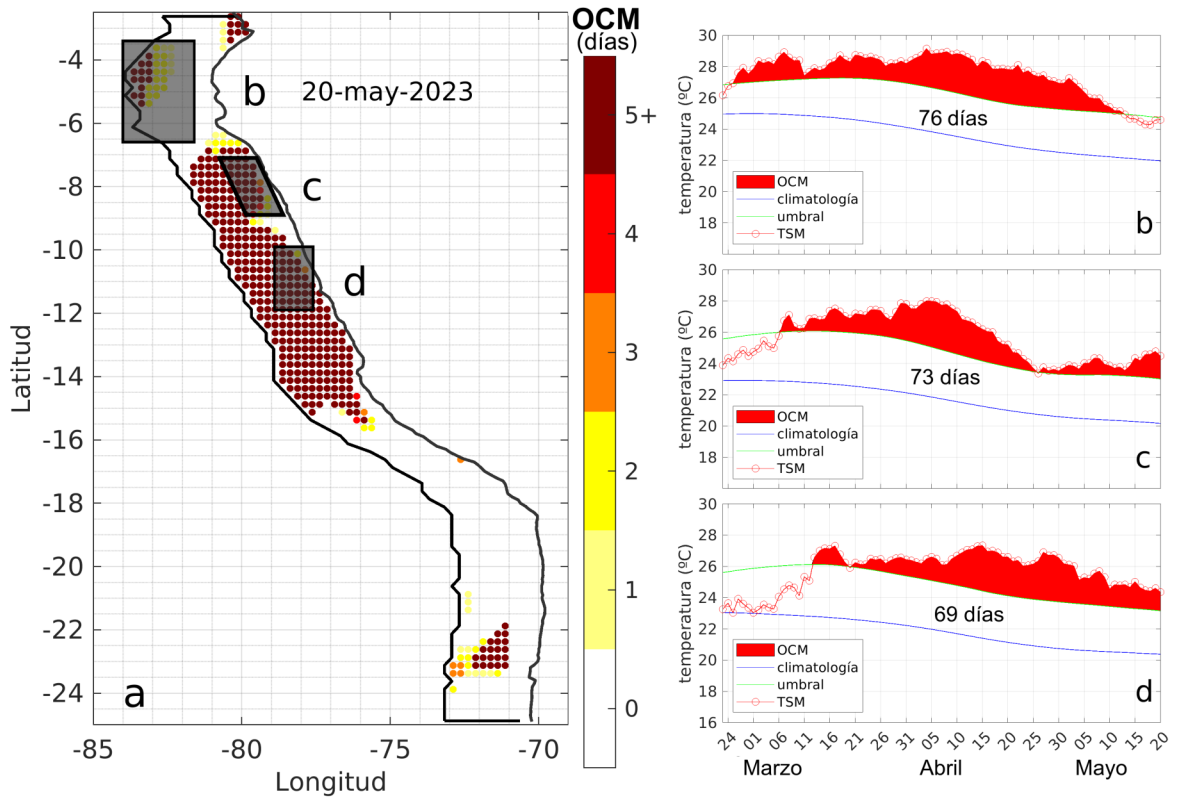
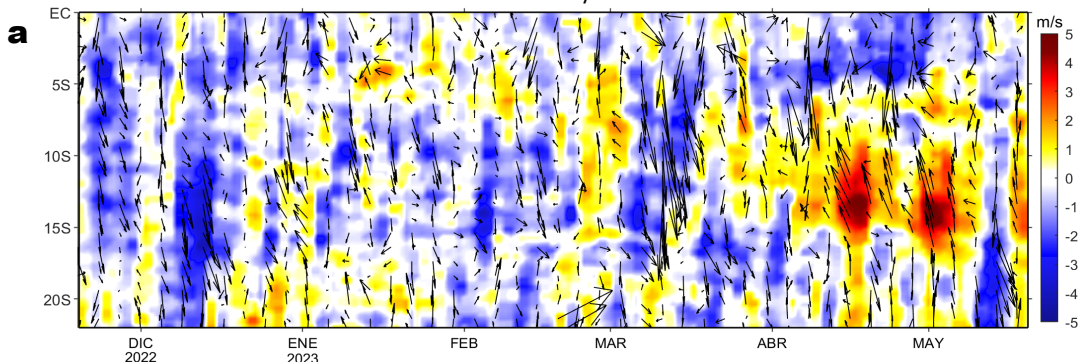


Figura 4. a) Extensión de la ola de calor marina (OCM) dentro de la franja de 150 m.n. frente a la costa al 20 de mayo 2023. La escala de color en (a) indica el número de días en los cuales la TSM superó el percentil 90 de los datos diarios históricos, usando el período 1982-2011 como referencia (Pietri et al., 2021). Serie de tiempo de la TSM relacionada a la climatología y al percentil 90 en las áreas seleccionadas norte (b), Chicama (c) y Huacho (d) de la OCM. Fuente: OISST 2.1; procesamiento: LMOECC/IMARPE.

Anomalía de la Velocidad del Viento (m/s), franja costera de 60 m.n.
14 - 20 de mayo 2023



Anomalía de la Temperatura Superficial del Mar (°C), franja costera de 60 m.n.
14 - 20 de mayo 2023

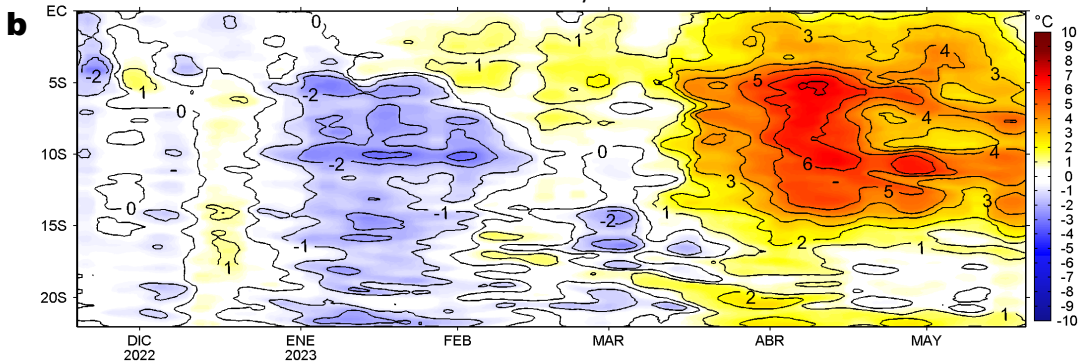


Figura 5. Evolución de las anomalías diarias de: a) Velocidad del viento (m/s) y b) Temperatura superficial del mar (°C) para el último semestre, actualizado al 20 de mayo de 2023. Datos: de IFREMER/CERSAT para (a) y de OSTIA-UKMO-L4-GLOB-v2.0 para (b). Las anomalías fueron calculadas para una franja de 60 m.n. adyacente a la costa entre el ecuador geográfico y 22°S según los promedios climatológicos diarios de 2000-2014 para (a) y de 2007-2016 para (b). La barra de colores a la derecha muestra la escala de las anomalías en cada caso.

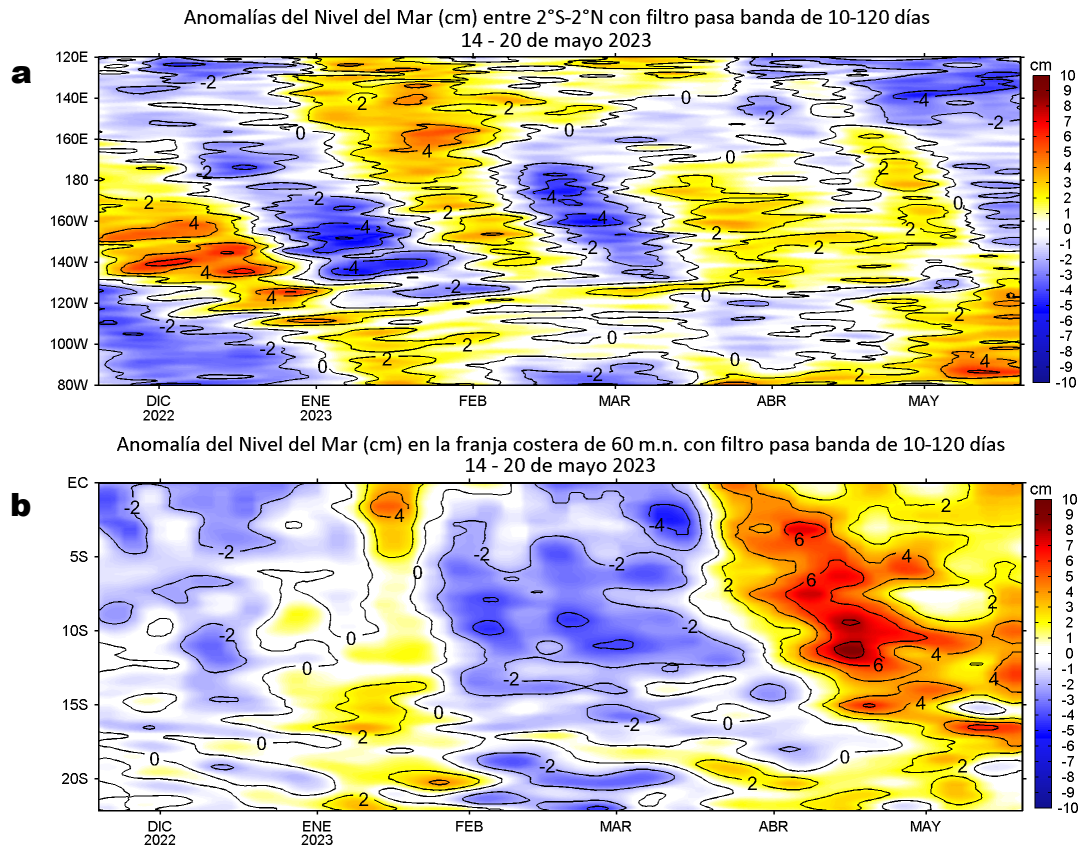


Figura 6. Evolución de las anomalías diarias del nivel del mar (cm) con filtro pasa banda de 10-120 días para: a) la franja de 2°S-2°N en el Pacífico ecuatorial y b) la franja de 60 m.n. adyacente a la costa entre el ecuador geográfico y 22°S actualizado al 20 de mayo de 2023. Datos: Servicio de Monitoreo del Ambiente Marino Copernicus (CMEMS en inglés). Climatología: 1993-2010. La barra de colores a la derecha muestra la escala de las anomalías en cada caso.

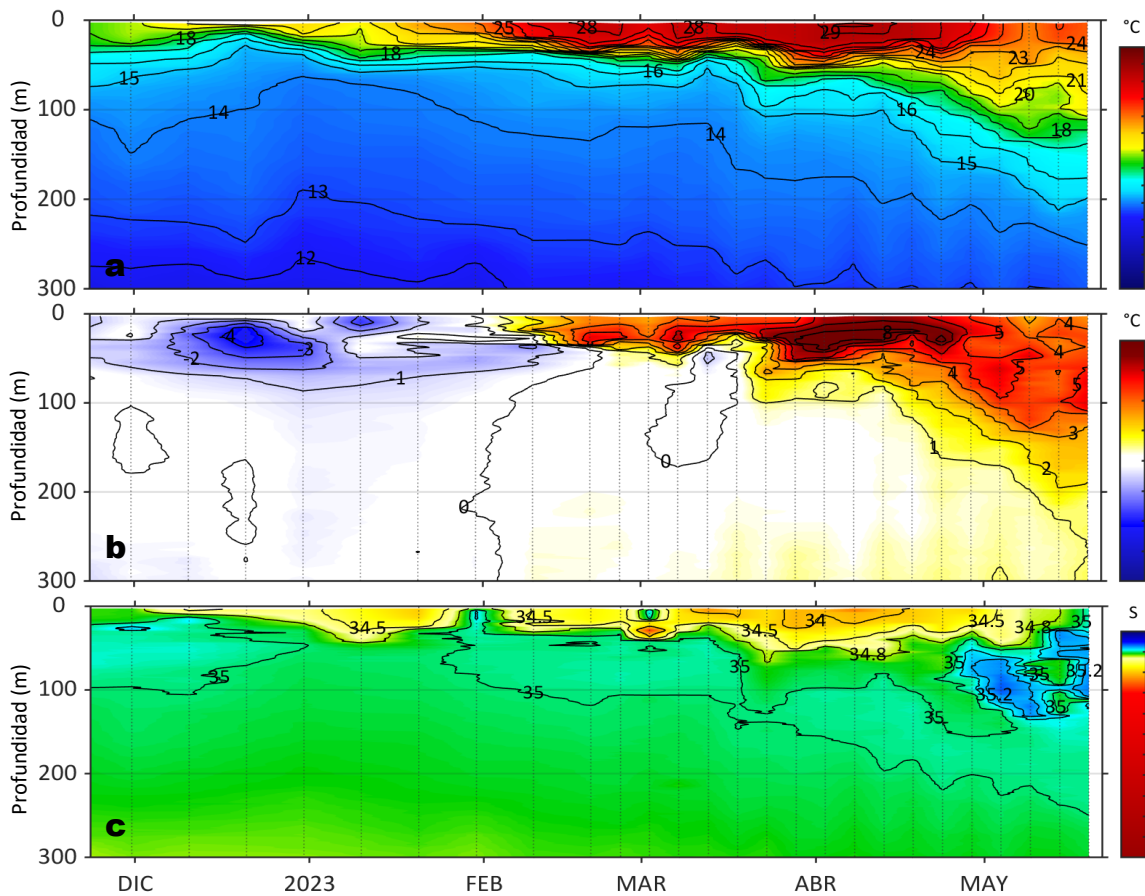


Figura 7. Diagrama Hovmöller de: a) Temperatura del mar (°C), b) Anomalías térmicas (°C) y c) Salinidad del mar, perfilador ARGO No. 6903002 localizado a 72 m.n. (5,94°S, 82,24°W) frente a Punta Falsa el 19 de mayo de 2023. Las anomalías de la temperatura del agua se calcularon de acuerdo a Domínguez et al (2017). Los puntos en la columna de agua indican los días en que el perfilador registró información. Datos: ARGO.

IV. ÍNDICES CLIMÁTICOS Y BIOLÓGICO-PESQUERO

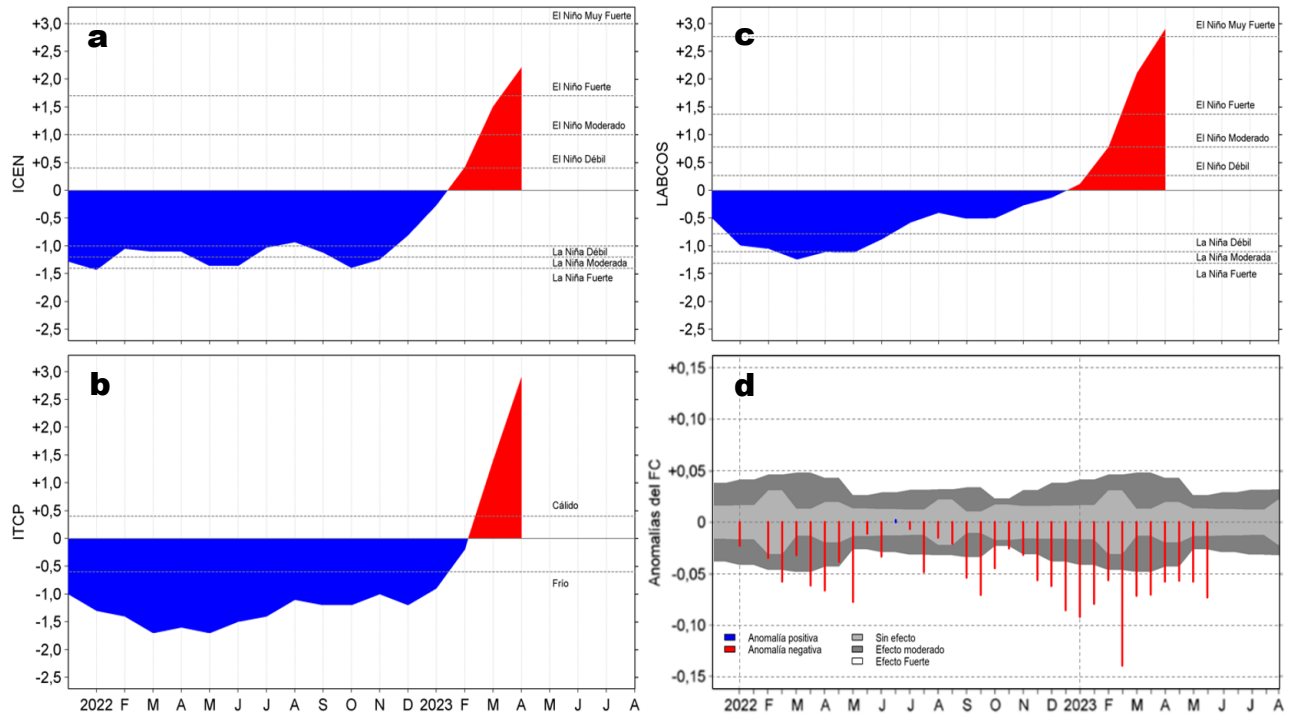


Figura 8. Series de tiempo de: a) Índice Costero El Niño (ICEN; Takahashi et al., 2014), b) Índice Térmico Costero Peruano (ITCP; Quispe et al., 2016), c) Índice LABCOS (Quispe y Vásquez, 2015) y d) Anomalías del índice del factor de condición (AFC) de anchoveta peruana *Engraulis ringens* (Cuba et al, 2019), desde diciembre 2021 a mayo 2023; climatología 2010-2022.

V. ASPECTOS BIOLÓGICO-PESQUEROS

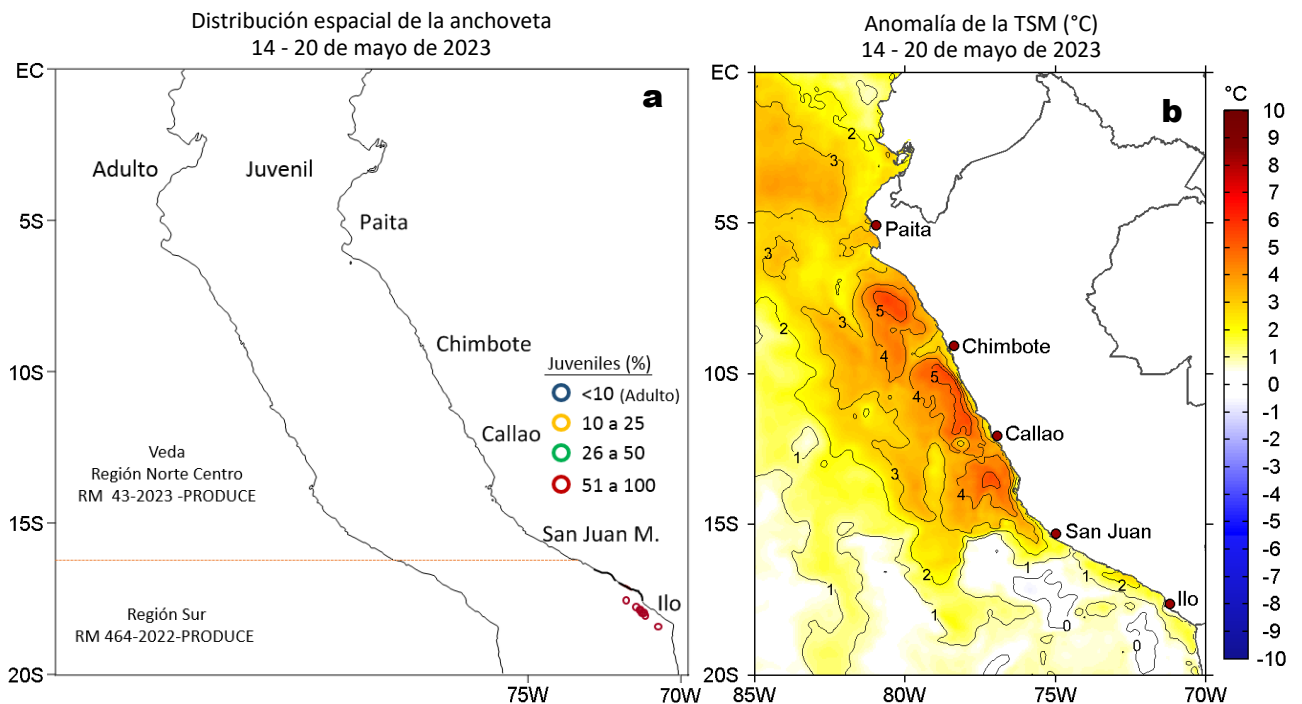


Figura 9. a) Distribución de la anchoveta según porcentaje de juveniles por región y su relación con b) las anomalías térmicas ($^{\circ}\text{C}$) para la semana del 14 al 20 de mayo de 2023. Datos: OSTIA-UKMO-L4-GLOB-v2.0 (UK Met Office, 2012; Donlon et al, 2012) disponible en <https://podaac.jpl.nasa.gov/dataset/OSTIA-UKMO-L4-GLOB-v2.0>. Las anomalías térmicas se calcularon con respecto de la climatología para el período 2007-2016.

VI. PERSPECTIVAS

Anomalía de la Velocidad del Viento (VV, m/s) y Dirección del viento (°)
Condiciones iniciales: 22 de mayo de 2023

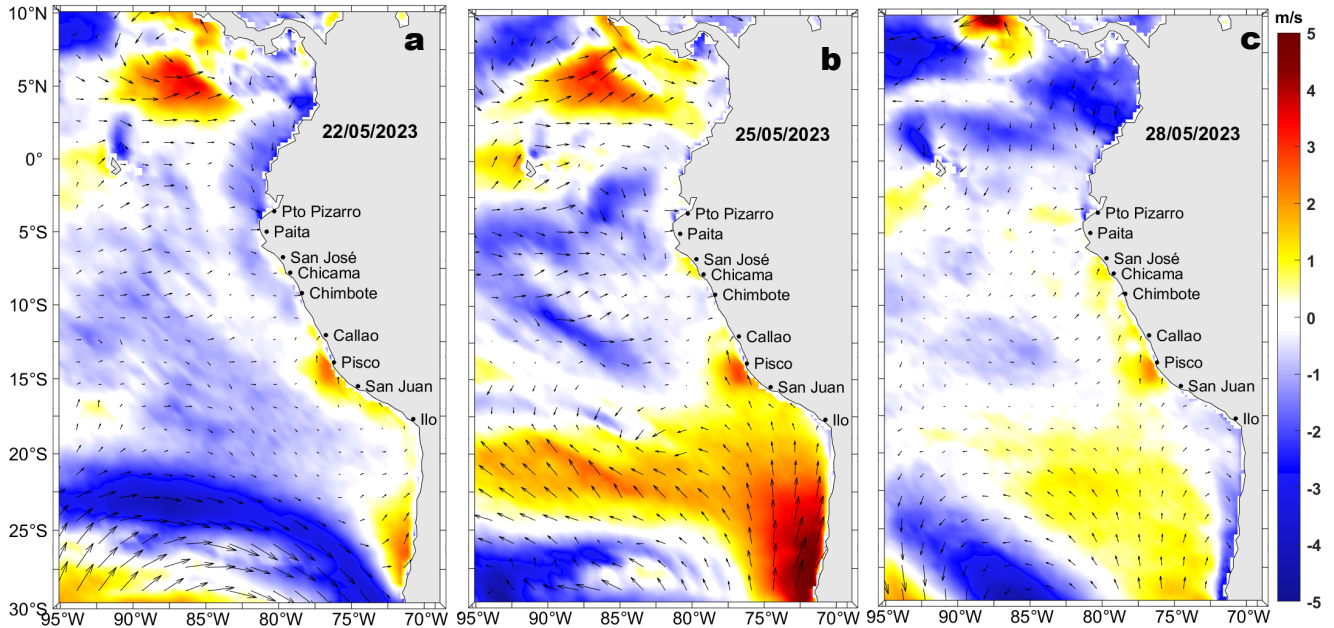


Figura 10. Distribución espacial del pronóstico de las anomalías de la Velocidad del Viento (VV, m/s) y dirección del viento (°) para el a) 22, b) 25 y c) 28 de mayo de 2023, frente a la costa entre Panamá y Chile. Fuente: Modelo Climate Forecast System (GFS) de la NOAA.

Ondas Kelvin Ecuatoriales
Condiciones iniciales: 10-19 de mayo 2023

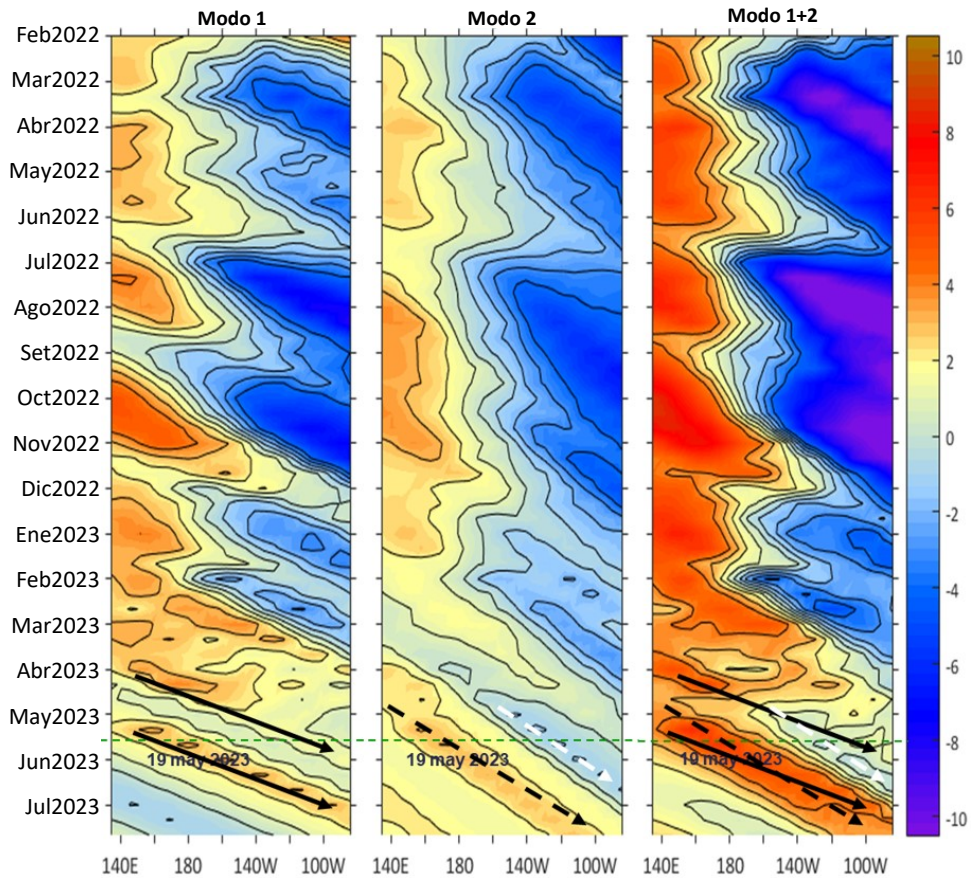


Figura 11. Diagramas Hovmöller longitud-tiempo de las Ondas Kelvin Ecuatoriales en el océano Pacífico ecuatorial entre 130°E y 95°W forzado con anomalías del esfuerzo del viento (N/m^2) del NCEP (Kalnay et al., 1996) de acuerdo con la metodología de Illig et al. (2004) y Dewitte et al. (2002): a) Modo 1, b) Modo 2 y c) Modos 1+2. La línea discontinua horizontal de color verde indica el inicio del pronóstico (19 de mayo 2023) con anomalías del esfuerzo del viento igual a cero. Los valores negativos corresponden a ondas Kelvin de afloramiento "frías" (flechas blancas). Datos del modelo: LMOECC/AFIOF/DGIOCC/IMARPE.

RECONOCIMIENTOS

The Group for High Resolution Sea Surface Temperature (GHRSSST) Multi-scale Ultra-high Resolution (MUR) Level 4 OSTIA Global Foundation Sea Surface Temperature Analysis (GDS version 2). Ver. 2.0 data were obtained from the NASA EOSDIS Physical Oceanography Distributed Active Archive Center (PO.DAAC) at the Jet Propulsion Laboratory, Pasadena, CA (<http://dx.doi.org/10.5067/GHGMR-4FJ01>).

IFREMER/CERSAT. 2005. ERS-1 Level 3 Gridded Mean Wind Fields (IFREMER). Ver.1.PO.DAAC, CA, USA (<ftp://anonymous@ftp.ifremer.fr/ifremer/cersat/products/gridded/mwf-ers1>).

The Ssalto/Duacs altimeter products were produced and distributed by the Copernicus Marine and Environment Monitoring Service (CMEMS) (<http://www.marine.copernicus.eu>).

The products from the MERCATOR OCEAN system distributed through the Marine Copernicus Service (<http://www.marine.copernicus.eu>).

Argo data (<http://doi.org/10.17882/42182>) were collected and made freely available by the International Argo Program and the national programs that contribute to it. (<http://www.argo.ucsd.edu>, <http://argo.jcommops.org>). The Argo Program is part of the Global Ocean Observing System.

The Pacific Islands Ocean Observing System (PacIOOS) is funded through the National Oceanic and Atmospheric Administration (NOAA) as a Regional Association within the U.S. Integrated Ocean Observing System (IOOS). PacIOOS is coordinated by the University of Hawaii School of Ocean and Earth Science and Technology (SOEST).

El despliegue de los gliders en el mar peruano así como la información de las olas de calor marinas (OCM) son acciones del proyecto "Adaptación a los impactos del cambio climático en el ecosistema marino costero del Perú y sus pesquerías", convenio PRODUCE/PROFONANPE/IMARPE. La información contribuirá en la determinación de escenarios vulnerables e impactos del cambio climático en los ecosistemas marino-costeros, en beneficio de las comunidades costeras de pesca artesanal.

Las anomalías del índice de factor de condición fueron determinadas a partir de información brindada por el Laboratorio de Biología Reproductiva de la sede central de IMARPE.

Este boletín es una acción del Programa Presupuesto Por Resultados - PPR 068 El Niño "Reducción de Vulnerabilidad y Atención de Emergencias por Desastres" y su producto "Entidades Informadas en forma permanente y con pronósticos frente al Fenómeno El Niño".

REFERENCIAS

Cuba, A., Sánchez, J., Mori, J., & Chávez, G. (2019). Anomalías de los índices reproductivos fracción desovante e índice gonadosomático de anchoveta peruana *Engraulis ringens* (Jenyns, 1842) del stock norte-centro del Perú en relación a El Niño Costero 2017. *The Biologist*, 17(2).

Dewitte B., D. Gushchina, Y. du Penhoat and S. Lakeev, 2002: On the importance of subsurface variability for ENSO simulation and prediction with intermediate coupled models of the Tropical Pacific: A case study for the 1997-1998 El Niño. *Geoph. Res. Lett.*, vol. 29, no. 14, 1666, [10.1029/2001GL014452](https://doi.org/10.1029/2001GL014452).

Domínguez, N., C. Grados, L. Vásquez, D. Gutiérrez, A. Chaigneau. Climatología termohalina frente a las costas del Perú. Periodo: 1981-2010. Volumen 44, Número 1, Enero-Marzo 2017. *Inf Inst Mar Perú* 44(1).

Donlon, C. J., M. Martin, J. Stark, J. Roberts-Jones, E. Fiedler, W. Wimmer, 2012. The Operational Sea Surface Temperature and Sea Ice Analysis (OSTIA) system. *Remote Sen. Env.*, 116, 140-158.

Hobday, A. J., Alexander, L. V., Perkins, S. E., Smale, D. A., Straub, S. C., Oliver, E. C. J., Wernberg, T. (2016). A hierarchical approach to defining marine heatwaves. *Progress in Oceanography*, 141, 227-238. [doi:10.1016/j.pocean.2015.12.014](https://doi.org/10.1016/j.pocean.2015.12.014)

Illig, S., B. Dewitte, N. Ayoub, Y. du Penhoat, G. Reverdin, P. De Mey, F. Bonjean and G. S. E. Lagerloef, 2004: Interannual Long Equatorial Waves in the Tropical Atlantic from a High Resolution OGCM Experiment in 1981-2000, *Journal of Geophysical Research*, 109, C02022, [doi:10.1029/2003jc001771](https://doi.org/10.1029/2003jc001771).

IMARPE. (2023). Reporte de indicadores reproductivos de la anchoveta peruana *Engraulis ringens*. N°06-2023. LBR/AFINRP/DGIRP.

IMARPE. (2023a). Boletín Semanal Oceanográfico y Biológico-Pesquero N°10-2023. LHFMA/AFIOF/DGIOCC/IMARPE. <https://repositorio.imarpe.gob.pe/bitstream/20.500.12958/7595/1/BS%20OBP%20N%2%b010%202023.pdf>

IMARPE. (2023b). Boletín Semanal Oceanográfico y Biológico-Pesquero N°16-2023. LHFMA/AFIOF/DGIOCC/IMARPE. <https://repositorio.imarpe.gob.pe/bitstream/20.500.12958/7594/1/BS%20OBP%20N%2%b016%202023.pdf>

IMARPE. (2023c). Boletín Semanal Oceanográfico y Biológico-Pesquero N°18-2023. LHFMA/AFIOF/DGIOCC/IMARPE. <https://repositorio.imarpe.gob.pe/bitstream/20.500.12958/7636/1/BS%20OBP%20N%2%b018%202023.pdf>

Kalnay, E., M. Kanamitsu, R. Kistler, W. Collins, D. Deaven, L. Gandin, M. Iredell, S. Saha, G. White, J. Woollen, Y. Zhu, A. Leetmaa, B. Reynolds, M. Chelliah, W. Ebisuzaki, W. Higgins, J. Janowiak, K. Mo, C. Ropelewski, J. Wang, R. Jenne, and D. Joseph, 1996: The NCEP/NCAR 40-Year Reanalysis Project. *Bull. Amer. Meteor. Soc.*, 77, 437-471.

Kobayashi S, Ota Y, Harada Y, Ebata A, Moriya M, Onoda H, Onogi K, Kamahori H, Kobayashi C, Endo H, Miyaoka K, Takahashi K (2015) The JRA-55 reanalysis: general specifications and basic characteristics. *J Meteor Soc Jpn* 93: 5-48.

Lellouche, J.-M., Le Galloudec, O., Drévilion, M., Régnier, C., Greiner, E., Garric, G., Ferry, N., Desportes, C., Testut, C.-E., Bricaud, C., Bourdallé-Badie, R., Tranchant, B., Benkiran, M., Drillet, Y., Daudin, A., and De Nicola, C.: Evaluation of global monitoring and forecasting systems at Mercator Océan, *Ocean Sci.*, 9, 57-81, 2013.

Perea, A., B. Buitrón, J. Mori, J. Sánchez, C. Roque, 2015. Anomalías de los índices reproductivos de anchoveta *Engraulis ringens* en relación al ambiente. En: Boletín Trimestral Oceanográfico, Volumen 1, Números 1-4, pp.: 27-28.

Pietri, A., Colas, F., Mogollon, R., J. Tam & D. Gutierrez. Marine heatwaves in the Humboldt current system: from 5-day localized warming to year-long El Niños. *Sci Rep* 11, 21172 (2021). <https://doi.org/10.1038/s41598-021-00340-4>

Quispe Ccallauri, C, J. Tam, H. Demarcq, C. Romero, D. Espinoza, A. Chamorro, J. Ramos, R. Oliveros, 2016. El Índice Térmico Costero Peruano. En: Boletín Trimestral Oceanográfico, Volumen 2, Número 1, pp: 7-11.

Quispe-Ccallauri C, Tam J, Arellano C, Chamorro A, Espinoza-Morriberón D, Romero C, Ramos J. 2015. Desarrollo y aplicación de índices y simulaciones para la vigilancia y el pronóstico a mediano plazo del impacto del ENOS frente a la costa peruana. Inf. Inst. Mar Perú, Vol. 44(1):28-34. <https://biblioimarpe.imarpe.gob.pe/handle/20.500.12958/3149>

Quispe, J. y L. Vásquez, 2015. Índice "LABCOS" para la caracterización de evento El Niño y La Niña frente a la costa del Perú, 1976-2015. En: Boletín Trimestral Oceanográfico, Volumen 1, Números 1-4, pp.: 14-18.

Takahashi, K, K. Mosquera y J.Reupo, 2014. El Índice Costero El Niño (ICEN): historia y actualización. Boletín Técnico - Vol. 1 Nro. 2, Febrero del 2014.

El Boletín Semanal Oceanográfico y Biológico-Pesquero (BS-OBP) presenta la evolución de variables físicas en el océano y la atmósfera, de la estructura físico-química del océano frente a Paita -lugar referente del mar peruano para la vigilancia climática asociada a El Niño-Oscilación del Sur, así como de indicadores biológico-pesqueros. El objetivo es comprender los efectos de la variabilidad de corto plazo en las condiciones oceanográficas y biológico-pesqueras del mar peruano. Esta información se sustenta en las redes observacionales in situ que administra el IMARPE y que se ha fortalecido en el marco del Programa Presupuesto Por Resultados - PPR 068 El Niño "Reducción de Vulnerabilidad y Atención de Emergencias por Desastres" y su producto "Entidades Informadas en forma permanente y con pronósticos frente al Fenómeno El Niño" del Estado Peruano.

El BS-OBP pretende informar de forma oportuna y permanente sobre el estado del océano a diferentes grupos de interés y sociedad en general y contribuye a mejorar el conocimiento del mar peruano y coadyuvar a la gestión del riesgo de desastres del Estado Peruano.

Finalmente, se informa que el monitoreo oceanográfico rutinario frente a Paita aún no se ha restablecido por lo que la información subsuperficial considera la información de perfiladores ARGO seleccionados, actualmente disponibles frente a la costa norte-centro del Perú. Se recomienda cautela en el uso de esta información debido a la naturaleza móvil de estos equipos oceanográficos.

Servicio de Información Oceanográfica del Fenómeno El Niño (SIOFEN)
Dirección General de Investigaciones en Oceanografía y Cambio Climático (DGIOCC) y
Dirección General de Investigaciones de Recursos Pelágicos (DGIRP)
Instituto del Mar del Perú (IMARPE)



IMARPE (2023). Boletín Semanal Oceanográfico y Biológico-Pesquero N°20, 14 - 20 de mayo de 2023, Callao, Instituto del Mar del Perú.

<https://repositorio.imarpe.gob.pe/handle/20.500.12958/7451>

Colaboradores: C. Grados, K. Vásquez, D. Correa, C. Asto, C. Quispe, T. Anculle, D. Camarena, D. Gutiérrez, A. Cuba, J. Sánchez, B. Buitrón, C. Peña, D. Ulloa, J. Salcedo y M. Bouchon.

© 2023 Instituto del Mar del Perú

Suscripciones: Complete [este formulario](#).

Consultas:

Servicio de Información Oceanográfica del Fenómeno El Niño, SIOFEN
Laboratorio de Hidrofísica Marina/AFIOF
Dirección General de Investigaciones en Oceanografía Física y Cambio Climático
Instituto del Mar del Perú
Esquina Gamarra y General Valle S/N, Chucuito, Callao - Perú.
Correo electrónico: siofen@imarpe.gob.pe.
Teléfono: (51 1) 208 8650 (Extensión 824).

Foto en la portada: Mar peruano (© Miguel Sarmiento/IMARPE).